

ОПТИЧЕСКИЙ КВАНТОВЫЙ ГЕНЕРАТОР НА ОСНОВЕ α -ГАГАРИНИТА, АКТИВИРОВАННОГО НЕОДИМОМ

*Посвящается первому
полету человека в космос*

Х.С.Бадасаров, А.А.Каминский, Я.Е.Лапскер, Б.П.Соболев

Гагаринит представляет собой природный фторид редких Земель (TR^{3+}), натрия и кальция с идеализированной формулой $NaCaYF_6$. Этот минерал был открыт в СССР в 1958 г. [1] и назван в честь первого в мире летчика-космонавта Ю.А.Гагарина.

В настоящем сообщении приводятся предварительные результаты исследований нового оптического квантового генератора (ОКГ) на основе кристалла α -гагаринита с примесью Nd^{3+} , работающего при 300°К.

В наших исследованиях использовались кристаллы α -гагаринита, выращенные методом Стокбаргера в атмосфере HF [2]. Как известно, гагаринит имеет две полиморфные модификации, из которых высокотемпературная принадлежит к структуре типа флюорита. В определенной части системы $NaF - CaF_2 - YF_3$ кубическая модификация (α) сохраняется в широком интервале температур. Именно эта α -модификация была предметом наших исследований.

Из синтезированных монокристаллов, удовлетворительного оптического качества, изготавливались образцы для изучения индуцированного излучения, представлявшие собой цилиндрические стержни длиной ~30 мм и диаметром ~6 мм с плоскопараллельными торцами (~15"). Концентрация активирующей примеси варьировалась от 0,5 до 1% весовых.

К настоящему времени известно несколько ОКГ на основе фаз флюоритовой структуры в двойных фторидных системах $MF_2 - MeF_3 - TR^{3+}$, где $M - Ca, Sr$, Va и $Me - Y, La, Ce, Er$ [3,4]. Особенность кристаллохимической структуры этих фаз состоит в том, что расположение ионов различных компонентов носит неупорядоченный характер, что в конечном

Вклейка к ст. Х. С. Багдасарова и др. (стр. 220)

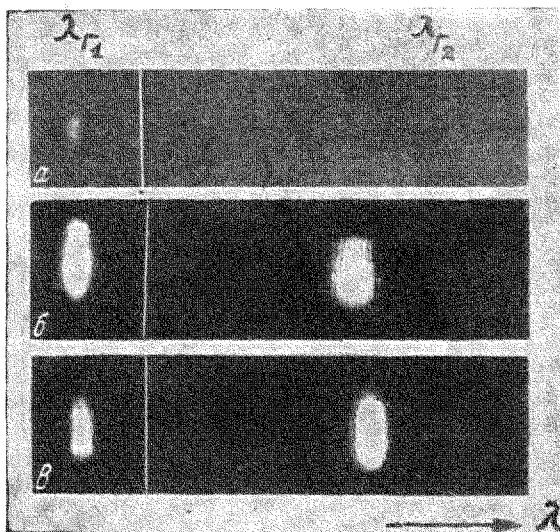


Рис. 2. Спектры генерации при 300°К кристалла
а — гагаринита; а — с 0,5% Nd³⁺, E_{воз.} = 12 дж;
б — с 0,5% Nd³⁺, E_{воз.} = 50 дж; в — с 1% Nd³⁺,
E_{воз.} = 50 дж

итоге отражается на конфигурации электрических кристаллических полей, окружающих рабочие ионы TR^{3+} . Это обстоятельство приводит к образованию большого количества типа оптических центров (ОЦ). Как отмечено в работе Воронько и др. [5], по своей структуре эти фазы

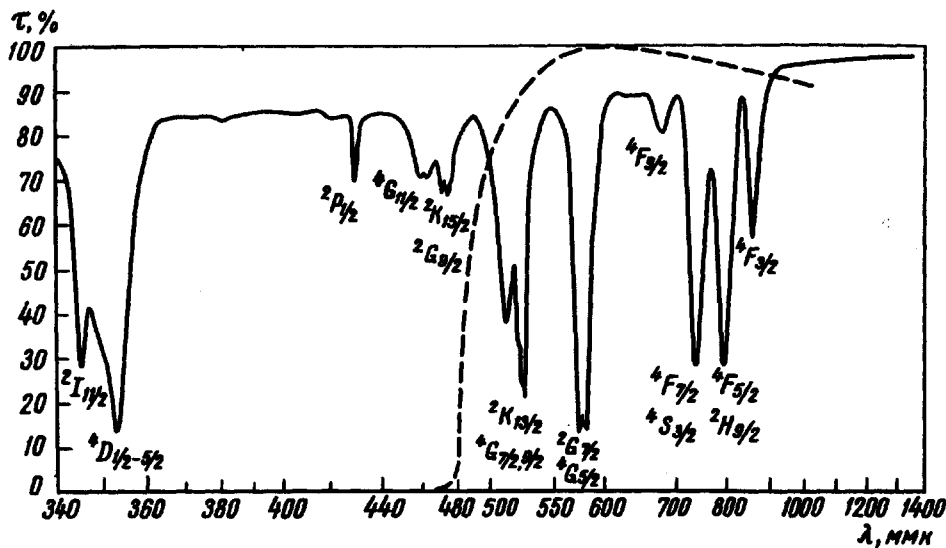


Рис.1. Спектр пропускания кристалла α -гагаринита с 1% Nd^{3+} при 300°K

представляют собой типичные кристаллы, в то же время по спектральным свойствам они занимают положение, промежуточное между кристаллами и стеклами.

Полученные нами кристаллы α -гагаринита открывают новый ряд активных веществ для ОКГ, – а именно, кристаллов тройных фторидных систем. Эти кристаллы также входят в класс веществ, рассмотренных выше, т.е. характеризуются многообразием ОЦ.

На рис. 1 показан спектр пропускания кристалла α -гагаринита с Nd^{3+} (1%), полученный на спектрофотометре EPS-2U при 300°K в диапазоне от 3400 до 14000 Å. Инфракрасная люминесценция иона Nd^{3+} соответствует переходам с уровней терма ${}^4\text{F}_{3/2}$ на четыре компоненты основного мультиплета ${}^4\text{I}$. Как и в большинстве других сред, наиболее сильная люминесценция иона Nd^{3+} соответствует переходу ${}^4\text{F}_{3/2} \rightarrow {}^4\text{I}_{11/2}$.

В опытах по генерации использовалась цилиндрическая осветительная система эллиптического сечения со световой эффективностью $\sim 0,3$ [6]. Большая полуось осветителя равнялась 31 мм, длина 55 мм и эксцентриситет $\sim 0,43$. В качестве источника возбуждения применялась ксеноновая импульсная лампа типа ИФП (межэлектродный зазор ~ 45 мм, диаметр светящегося столба ~ 5 мм). Оптический резонатор состоял из сферических зеркал с диэлектрическими покрытиями ($r \approx 0,5\%$), которые

устанавливались конфокально. Для предотвращения вредного эффекта "старения" неодима [7, 8] рабочий кристалл помещался в трубку из стекла марки ЖС-17, спектр пропускания которой на рис. 1 обозначен пунктирной линией. Как видно, в нашем эксперименте возбуждение кристаллов осуществлялось в полосы поглощения Nd^{3+} , лежащие от 9000 до 20000 см^{-1} .

Спектральный состав генерации изучался на спектрографе ДФС-8 (6 \AA/mm). Спектр фотографировался на пленку И-1070. В качестве регистра использовался спектр железа в третьем порядке. Применялась лампа с полным катодом. На рис. 2 (см.вкл.) показаны спектры индуцированного излучения двух кристаллов α -гагаринита при разных концентрациях активатора и уровнях энергии, подводимой к лампе. На рис. 2а, приведен спектр генерации кристалла с концентрацией Nd^{3+} 0,5% весовых, полученный при пороговых энергиях возбуждения. Как видно, излучение происходит на одной линии с длиной волны 10538 \AA (9489 см^{-1}). Порог возбуждения этой линии в нашей системе составлял $\sim 11 \text{ дж.}^*$ При увеличении подводимой к лампе энергии до 27 дж в спектре генерации появляется вторая линия с $\lambda = 10629 \text{ \AA}$ (9408 см^{-1}) (рис. 2б). Поведение этих линий в кристалле с содержанием Nd^{3+} 1% вес., уже несколько отлично; во-первых, происходит небольшое их смещение в длинноволновую сторону $\lambda = 10540 \text{ \AA}$ (9488 см^{-1}) и $\lambda = 10631 \text{ \AA}$ (9406 см^{-1}) (рис. 2в) и во-вторых, уменьшение порога возбуждения второй линии $E_2 = 20 \text{ дж}$ ($E_1 = 14 \text{ дж}$). Необходимо отметить, что оптическое качество второго кристалла было несколько хуже, чем первого.

Такая острая зависимость характера спектрального состава кристаллов α -гагаринита от концентрации активатора (или других компонентов) говорит в пользу того, что в этой системе возможны значительные перестройки ОЦ (или появление новых) и изменения их генерационных свойств. Такая особенность этих кристаллов может перевести к созданию веществ для ОКГ с управляемыми спектральными характеристиками.

В заключении выражаем благодарность Д.Н.Клущанцеву и Г.А.Богомоловой за участие в экспериментах, Н.Я.Виноградову за обработку кристаллов и З.Б.Перикалиной за снятие спектра пропускания.

Институт кристаллографии
Академии наук СССР

Поступило в редакцию
18 января 1967 г.

Литература

- [1] А.В.Степанов, Э.А.Северов. ДАН СССР, 141, 954, 1961.
- [2] D.Stockbarger. J.Opt. Soc.Amer., 39, 1620, 1949.
- [3] А.А.Каминский, В.В.Осико. Ж.неорган.материалы, 1, 2049, 1965.
- [4] А.А.Каминский, В.В.Осико. Ж.неорган.материалы, 3, № 3, 1967.
- [5] Ю.К.Воронъко, А.А.Каминский, В.В.Осико, А.М.Прохоров. Ж. неорган. материалы. 2, 1161, 1966.
- [6] А.А.Каминский, Л.С.Корниенко. Ж.прикладной спектроскопии, 2, 87, 1965.

- [7] А.А.Каминский, В.В.Осико, М.М.Фурсиков, Письма ЖЭТФ, 4, 92, 1966.
[8] A.A.Kaminskii, Phys. Status Solidi, 1967 (в печати).
-

* Значения пороговых энергий возбуждения указаны с учетом пересчета длины кристалла и межэлектродного зазора лампы накачки.